

# 有限尺度与随机无序对耦合光学阵列的影响

## 讨论班讲义

物理科学与技术学院 物理学（弘毅）

2025 年 5 月 18 日

# 目录

- ① 课题研究背景
- ② 格点模型中两类随机无序的理论建模
- ③ 微环模拟
- ④ 结论与展望

自  
强  
弘  
毅  
求  
是  
拓  
新





# 制造误差（随机无序）对光子器件的实用性挑战

- 光子器件的制造中存在不可避免的误差，为光子器件的实际应用带来挑战
- 拓扑光子器件，尽管声称其鲁棒性源于对称性保护的拓扑光子态，例如基于谷量子霍尔效应的光子晶体波导，但是在实际实验中仍观察到了由纳米级的孔刻蚀误差引起的强烈背向散射效应（工作波长为 1550 纳米附近）

nature photonics



Article

<https://doi.org/10.1038/s41566-023-01189-x>

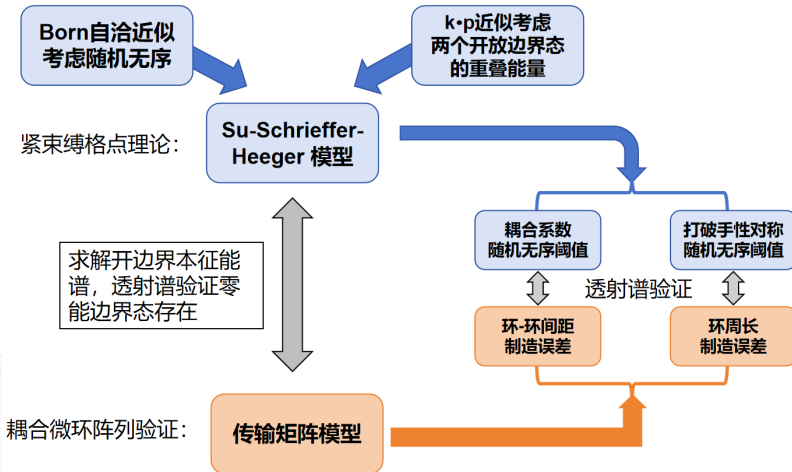
## Observation of strong backscattering in valley-Hall photonic topological interface modes



- 需要对规模较大的耦合腔/环系统进行直接求解 (例如使用 COMSOL Multiphysics 等), 并且要进行随机无序分析则需要多次采样, 这对算力要求极高
- 需求一套理论方法, 使得其能有效预言在多大的随机无序强度和至少多大的尺寸下所设计的光学阵列性质得以保留, 尝试给出随机无序强度的阈值, 进而对工艺误差提出限制条件。

# 本研究目标与框架

- 建立随机无序的理论模型从而给出工艺误差上限



- ① 课题研究背景
- ② 格点模型中两类随机无序的理论建模
- ③ 微环模拟
- ④ 结论与展望

自強弘毅  
求是拓新



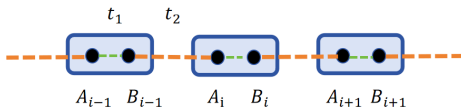


# Su-Schrieffer-Heeger 模型简介

- 两类同质量原子  $A, B$  交替排列成一维链状结构，仅考虑相邻格点的相互作用，原胞内跳跃系数记作  $t_1$ ，胞间跳跃系数记作  $t_2$ ，以下均有  $t_{1,2} > 0$
- 实空间哈密顿量为：

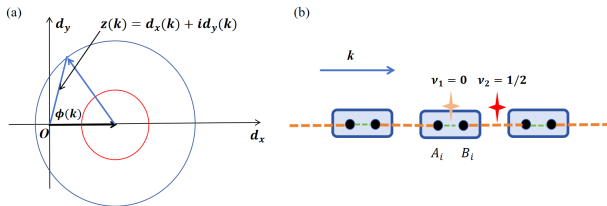
$$H = \sum_i t_1 c_{A,i}^\dagger c_{B,i} + t_2 c_{B,i}^\dagger c_{A,i+1} + h.c.$$

- $c_{A,i}^\dagger, c_{B,i}^\dagger$  是  $A_i, B_i$  的产生算符， $[c_i, c_j^\dagger] = \delta_{ij}$



- 周期边界条件： $c_n = \frac{1}{\sqrt{N}} \sum_k c_k e^{ikn}$ ,  $H = \sum_k c_{a,k}^\dagger h_{ab}(k) c_{b,k}$

- $h(k) = \mathbf{d}(\mathbf{k}) \cdot \boldsymbol{\sigma} = (t_1 + t_2 \cos(k))\sigma_x + t_2 \sin(k)\sigma_y$
- $E_{\pm}(k) = \pm \sqrt{(t_1 + t_2 \cos(k))^2 + t_2^2 \sin^2(k)} = \pm |\mathbf{d}(\mathbf{k})|$
- $|u_k\rangle = \frac{1}{\sqrt{2}}(1, e^{-i\phi(k)})^T$ , 其中  $\phi(k) = \arg(d_x(k) + id_y(k))$
- $\gamma_{Zak} = \int_{BZ} \langle u_k | i\partial_k | u_k \rangle dk = \int_{BZ} \frac{1}{2} \partial_k \phi(k) dk = 2\pi\nu$



- 在  $t_1 < t_2$  时系统有非平庸的  $Zak$  相位和 Wannier 中心















# 对角项（打破手性对称）的随机无序

- 对于所有的格点，假设其格点上存在随机无序势能：

$$V_d = \omega_0 \text{diag}(\delta_{11}, \delta_{12}, \delta_{21}, \dots)$$

$\omega_0$  代表了孤立格点的本征能量，在不存在无序时所有的格点本征能量是一样的，这使得哈密顿量满足手性对称性。

- $\delta$  是设置的随机项，其下标标记不同的格点。假设其满足高斯分布： $\delta \sim N(0, W_d^2)$ ， $W_d$  即代表了无序强度。
- 由此计算得

$$\Sigma_d = \langle V_d G V_d \rangle = \mathbf{I} W_d^2 E \omega_0^2 / (t_1 t_2 (\eta_2 - \eta_1))$$

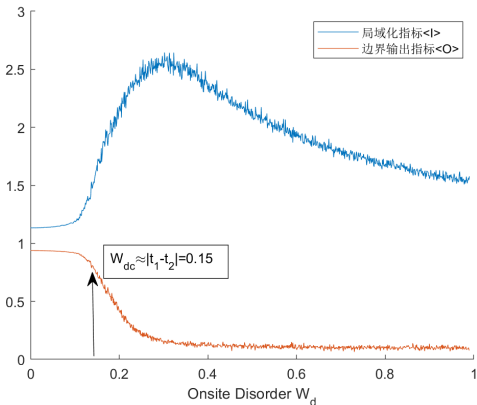
正比于单位阵  $\mathbf{I}$ ，这说明对角项随机无序不会导致能隙变化。



- 为了验证该观点，定义局域化指标  $I$  和边界输出  $O$ :

$$I = 1 / \sum_j |\psi_j|^4, O = |\psi_1|^2 + |\psi_{2N}|^2$$

- 其中  $t_1 = 0.02, t_2 = 0.05, \omega_0 = 1$





# 传输矩阵模型

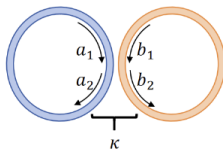
- 将很多处于相同本征频率  $\omega_m$  下的谐振环耦合起来，系统会有集体失谐  $\delta\Omega = \omega - \omega_m$ ， $\omega$  是集体共振频率
- 对于一个谐振环，在两个耦合点  $(\theta_1, \theta_2)$  之间，环内电场可写为：

$$E(\theta) = E_{1,2} \exp(\pm i(m + \delta\Omega l / 2\pi v_g)(\theta - \theta_1)) (\theta_1 < \theta < \theta_2)$$

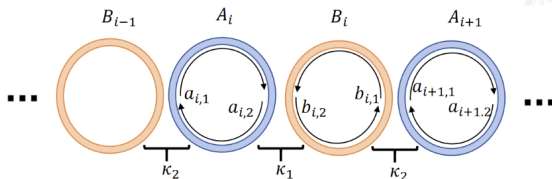
其中  $m$  是谐振级次， $v_g$  是群速度， $l$  是环周长

- 在耦合点处，散射关系如图所示

$$\begin{pmatrix} a_2 \\ b_2 \end{pmatrix} = S(\kappa) \begin{pmatrix} a_1 \\ b_1 \end{pmatrix}, S(\kappa) = \begin{pmatrix} \sqrt{1 - \kappa^2} & i\kappa \\ i\kappa & \sqrt{1 - \kappa^2} \end{pmatrix}$$



- 尝试利用微环阵列构造 SSH 模型，先将  $2N$  个相同的，且都处于  $m$  级谐振的谐振环排成一行，其次引入两种耦合系数  $\kappa_1, \kappa_2$  交替排列，周期性结构如图所示



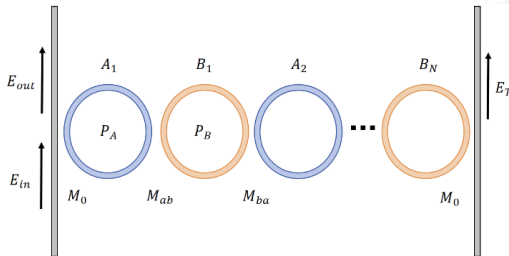
记一周的失谐相位为  $\delta = \delta\Omega l/v_g$ ，则递推散射关系为

$$\begin{pmatrix} a_{i,2} \\ b_{i,2} \end{pmatrix} = S(\kappa_1) e^{i(\delta/2+m\pi)} \begin{pmatrix} a_{i,1} \\ b_{i,1} \end{pmatrix}, \quad \begin{pmatrix} a_{i+1,1} \\ b_{i,1} \end{pmatrix} = S(\kappa_2) e^{i(\delta/2+m\pi)} \begin{pmatrix} a_{i+1,2} \\ b_{i,2} \end{pmatrix}$$



# 透射谱

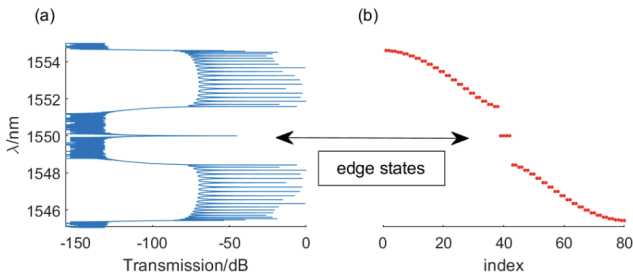
- 透射谱是研究光子晶体的重要实验方法，能在实验上测得光子带隙
- 在开边界微环阵列的一端通过直波导将入射光耦合进阵列中，在另一端再用一个直波导耦合透射光，以此模拟一维微环阵列在存在外界入射光时的情况，而反射光将从入射端波导耦合出去。这一建模如图所示





- $$T(\omega) = 1 - |E_{out}/E_{in}|^2 = 1 - |\mathbf{M}_{21}/\mathbf{M}_{11}|^2$$

- 绘制透射率与真空中的波长 ( $\lambda = 2\pi c/\omega$ ) 关系，与开边界能谱对比有：



在带隙位置，透射率保持为 0，不允许光射入其中。但因为有边缘态的存在，透射率在能隙的中间也存在一个峰值（事实上是两个态几乎简并了），其仅在拓扑情况 ( $\kappa_1 < \kappa_2$ ) 存在。

## 导耦合系

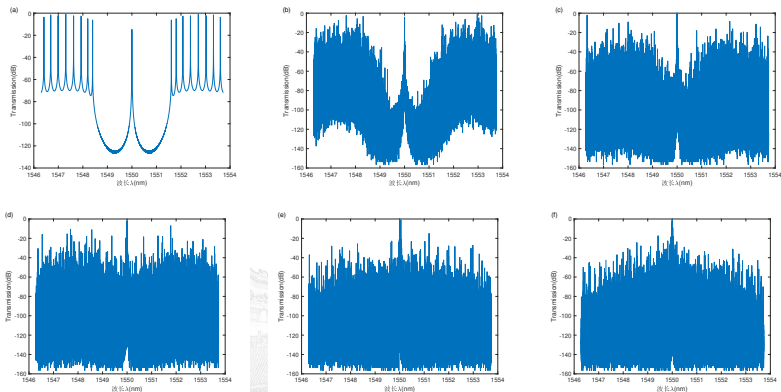
对应到格  
设计  $L =$   
有限尺度

- $$\kappa = \kappa_0 \exp\left(-\frac{r}{r_0}\right)$$

设计  $L =$   
有限尺度

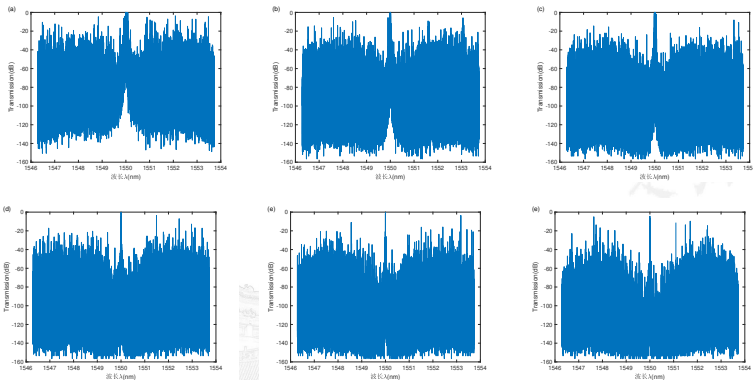
- 对于文中 (21 页表 3.1) 的耦合系数数据, 要设计  $L = 15$  的器件, 则其无序强度阈值为  $W_c \approx 0.4$ , 不考虑有限尺度效应的阈值为  $W'_c \approx 0.7$

- 数值结果 1: 保持无序强度  $W = 0.4$ , 验证含有限尺度效应的阈值  $W_c = 0.4$ , 而并非  $W'_c = 0.7$



固定阵列长度, 只改变耦合制造下的随机无序下绘制的透射率包络。  
其无序强度从编号 (a) 到 (f) 各为  $W = 0, 0.2, 0.35, 0.45, 0.6, 0.71$

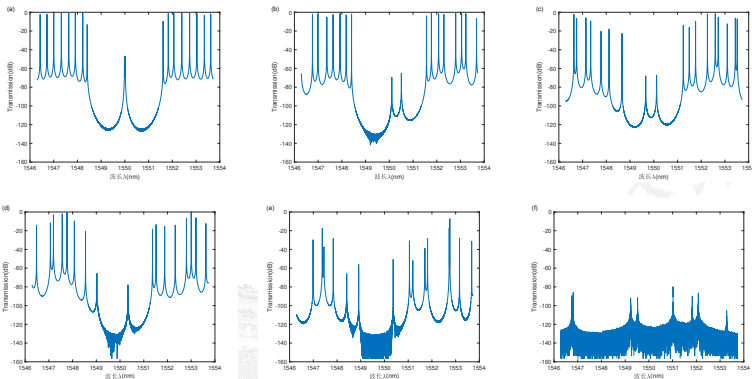
- 数值结果 2：尺寸越大的系统边缘态越稳定，越抗无序



保持无序强度  $W = 0.4$  不变, 仅改变系统原胞数 (尺寸) 下绘制的透射率包络, 其无序强度从编号 (a) 到 (f) 各为:  $L = 8, 11, 13, 15, 17, 20$

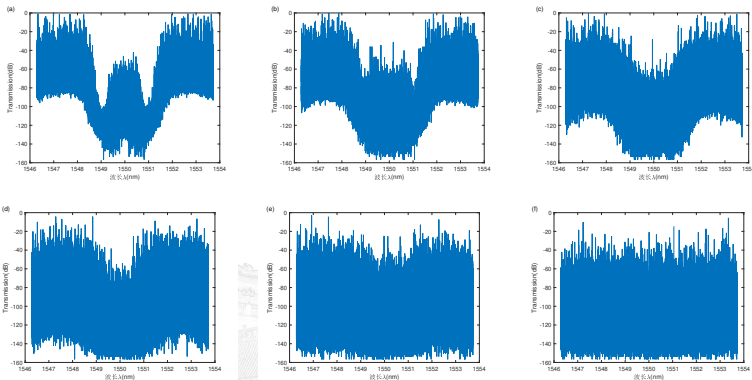


- 数值结果 3：验证对角项无序阈值  $W_{dc} = 0.00098$



考虑环周长制造误差时的单次采样透射谱, 从 (a) 到 (f) 无序强度依次为  $W_d = 0.0001, 0.0005, 0.0008, 0.001, 0.0015, 0.01$

- 数值结果 4: 验证无序强度  $W_d$  跨越  $W_{dc}$  和  $2W_{dc}$  时系统的边界态消失和能隙消失行为



考虑环周长制造误差时的多次采样透射率包络, 从 (a) 到 (f) 无序强度依次为  $W_d = 0.0004, 0.0007, 0.001, 0.0015, 0.002, 0.0025$



- ① 课题研究背景
- ② 格点模型中两类随机无序的理论建模
- ③ 微环模拟
- ④ 结论与展望



